



GOBIERNO
DE ESPAÑA

MINISTERIO
PARA LA TRANSICIÓN ECOLÓGICA
Y EL RETO DEMOGRÁFICO

CONFEDERACIÓN
HIDROGRÁFICA
DEL JÚCAR O. A.



UTE MANTENIMIENTO

SAIHH JÚCAR 2023

C/ Federico Salmón, 13

28016 - Madrid

CIF. U56479991

Nota informativa

EPISODIO DE LLUVIAS Y AVENIDAS DEL 01 AL 18 DE FEBRERO DE 2026

Historial de versiones

Versión	Fecha de la versión	Cambios
1	02/03/2026	Documento inicial

ÍNDICE

1. PRECIPITACIONES	3
1.1 RESUMEN DE PRECIPITACIONES	3
1.2 MAPAS DE PRECIPITACIONES Y HIETOGRAMAS DE RELEVANCIA	4
1.2.1 Sistema Júcar.....	5
1.3 AVISOS DE LLUVIAS	¡ERROR! MARCADOR NO DEFINIDO.
2. CAUDALES EN RÍOS Y RAMBLAS.....	7
2.1 VALORES MÁXIMOS REGISTRADOS EN PUNTOS RELEVANTES.....	7
2.2 SISTEMA TURIA.....	8
2.3 SISTEMA JÚCAR.....	12
2.4 AVISOS DE CAUDALES.....	¡ERROR! MARCADOR NO DEFINIDO.
3. EMBALSES	21
3.1 EMBALSES CHJ	21
3.2 AVISOS DE EMBALSES.....	¡ERROR! MARCADOR NO DEFINIDO.
ANEJO I: LISTADO DE LLUVIAS.....	25
ANEJO II: PRONÓSTICOS METEOROLÓGICOS	¡ERROR! MARCADOR NO DEFINIDO.
AII.I AEMET	¡ERROR! MARCADOR NO DEFINIDO.
AII.II: AVISOS GVA	¡ERROR! MARCADOR NO DEFINIDO.
AII.III: AVISOS JCCM	¡ERROR! MARCADOR NO DEFINIDO.
AII.III: AVISOS ARAGÓN	¡ERROR! MARCADOR NO DEFINIDO.
AII.IV AVISOS EFAS	¡ERROR! MARCADOR NO DEFINIDO.

1. PRECIPITACIONES

1.1 Resumen de precipitaciones

Entre las 0:00 h del 1 de febrero y las 00:00 h del 19 de febrero de 2026, la Demarcación Hidrográfica del Júcar se vio afectada por un periodo prolongado de precipitaciones, asociado a una concatenación de borrascas de gran impacto (Leonardo, Marta y Nils). No hubo avisos meteorológicos por parte de la AEMET que afectaran el ámbito de la Demarcación Hidrográfica del Júcar.

Las cabeceras de las cuencas del río Turia y río Júcar fueron las más afectadas por las precipitaciones tanto líquidas como sólidas (nieve), siendo estas últimas, debido al probable deshielo, las que contribuyeron principalmente al aumento de caudales y volúmenes de embalses registrados.

Los pluviómetros que han registrado mayor valor de precipitación acumulada (más de 150 l/m²) durante el periodo que abarca este informe (18 días) se enumeran en la Tabla 1-1:

Tabla 1-1 Lista de pluviómetros con registro de más de 150 l/m² en el ámbito de la CHJ.

PLUVIÓMETRO	MUNICIPIO Y PROVINCIA	LLUVIA l/m²
Embalse la Toba	Uña	226
Laguna del Marquesado	Laguna del Marquesado	197.6
La Cierva	La Cierva	189.2
Ciudad Encantada	Valdecabras	184
EA 126 Molino Juan Romero	Beamud	159.4
Zarzuela	Zarzuela	150.6

Periodo estudiado: 01/02/2026 00:00h – 19/02/2026 00:00h

En el ANEJO I “LISTADO DE LLUVIAS” se incluye el listado de lluvias completo y ordenado por subcuencas.

NOTA: Para asegurar la consistencia de la información pluviométrica, determinados datos presentados en este informe han sido completados a partir de los registros de pluviómetros cercanos de las redes SAIH y AVAMET.

NOTA 2: En el presente informe, toda referencia al “evento” comprendido entre el 01/02/2026 y el 19/02/2026 hace referencia al periodo comprendido entre las 0:00 h del 01/02/2026 y las 00:00h del 19/02/2026. Todos los datos analizados corresponden a este intervalo temporal.

1.2 Mapas de precipitaciones y hietogramas de relevancia

El mapa de la Figura 1-1 muestra el resultado global del episodio de lluvias, que resultó en una precipitación media interpolada en todo el ámbito de CHJ de 45 l/m² en 18 días.

Además de los datos del SAIH, para la generación de los mapas de precipitación de este informe y para el cálculo de la precipitación media interpolada, se han incorporado los datos de la red de pluviómetros de AVAMET.

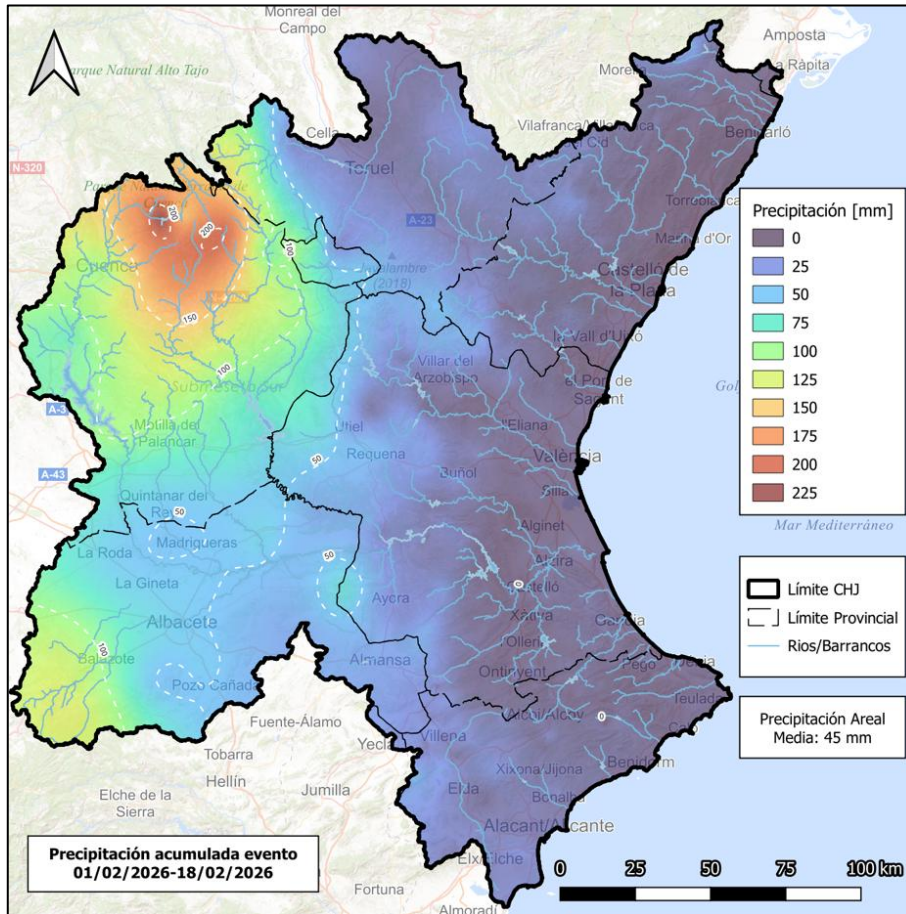


Figura 1-1 Precipitación acumulada 01/02/2026 – 18/02/2026, incluidos ambos días.

Atendiendo a la zona en la que el episodio tuvo mayor incidencia, el sistema de explotación más afectados fue Júcar, con 70.1 l/m² de precipitación media areal.

A continuación, se muestra el mapa de precipitaciones correspondiente a este sistema, junto con el hietograma del pluviómetro más representativo de esta cuenca.

1.2.1 Sistema Júcar

Para este evento, el pluviómetro más representativo de la red SAIH, es el ubicado en el Embalse la Toba (Figura 1-2). En los 18 días del episodio registró una lluvia acumulada total de 226mm.

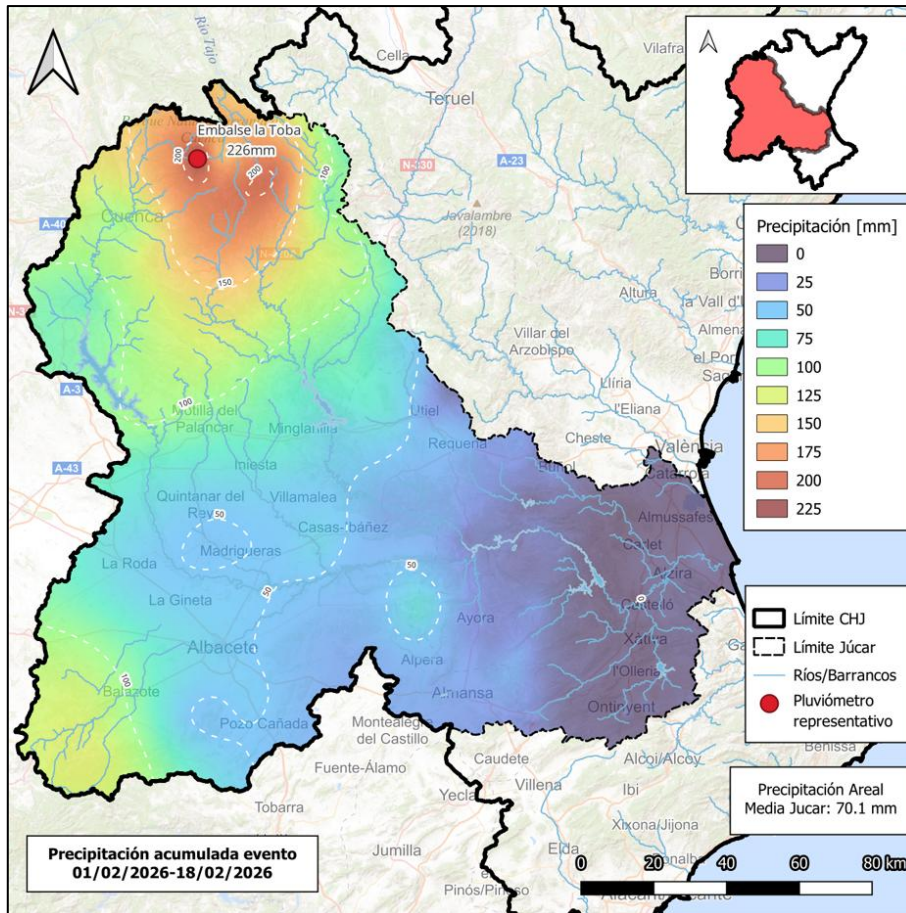


Figura 1-2. Sistema Júcar durante el episodio. Precipitación media interpolada de 70.1 mm.

En el hietograma de la Figura 1-3 no se observan episodios de lluvia intensa. La mayor parte de la precipitación registrada corresponde al valor mínimo detectable por el equipo de medición, lo que se interpreta como indicio de que la precipitación no fue líquida, sino predominantemente sólida (nieve). Esta interpretación es compatible con una situación de acumulación de nieve y su posterior fusión paulatina.

Desde el punto de vista hidrológico, este comportamiento concuerda con una cuenca de régimen nivo-pluvial, donde los caudales registrados responden principalmente al proceso de deshielo de la nieve acumulada.

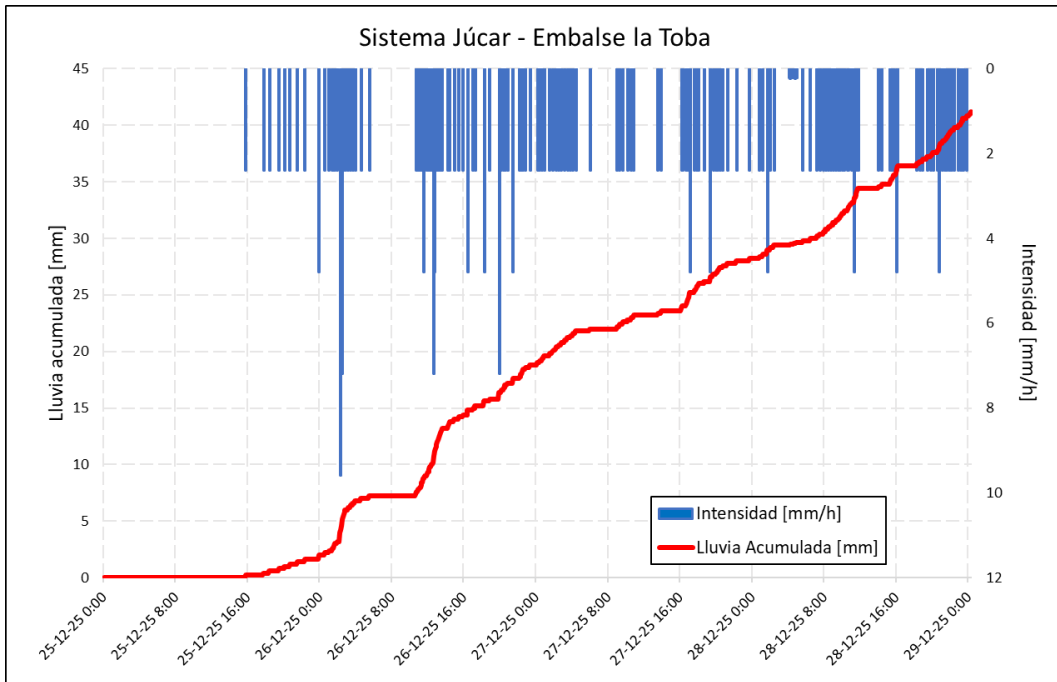


Figura 1-3. Hietograma en Embalse la Toba.

2. CAUDALES EN RÍOS Y RAMBLAS

Se han registrado caudales por encima de los umbrales amarillo, naranja y rojo en el sistema Júcar y caudales que han superado umbrales amarillo y naranja en el sistema Turia.

2.1 Valores máximos registrados en puntos relevantes

Tabla 2-1. Valores máximos de caudales que superaron el umbral amarillo, naranja y rojo

PUNTO	CAUCE	MUNICIPIO	FECHA Y HORA	CAUDAL (m³/s)	UMBRAL (m³/s)
EA 149 GEA DE ALBARRACÍN	Río Guadalaviar	Gea de Albarracín	14/02/2026 5:45	16.7	Amarillo
EA 126 MOLINO DE JUAN ROMERO	Río Júcar	Beamud	12/02/2026 0:30	138.6	Rojo
EA 14 TRAMACASTILLA	Río Guadalaviar	Tramacastilla	13/02/2026 12:10	23.1	Naranja
EA 90 PAJARONCILLO	Río Cabriel	Pajaroncillo	12/02/2026 3:15	127.0	Naranja
EA 32 CUENCA	Río Júcar	Cuenca	12/02/2026 13:15	296.2	Rojo
EA 98 RÍO JARDÍN	Río Jardín	Alcaraz	12/02/2026 18:00	16.5	Rojo
EA 139 VÍLLORA	Río Cabriel	Víllora	12/02/2026 14:00	140.8	Naranja
EA 91 SAN LORENZO DE LA PARRILLA	Río Júcar	San Lorenzo de la Parrilla	13/02/2026 3:50	335.6	Naranja
EA 138 BALAZOTE	Río Don Juan	Balazote	13/02/2026 14:25	7.7	Amarillo
EA 140 RÍO HUÉRCMES	Río Guadazón	Huércemes	14/02/2026 17:10	21.6	Amarillo
EA 87 MARIMOTA	Río Marimota	Belmontejo	13/02/2026 18:05	11.8	Amarillo

NOTA: Caudales registrados.

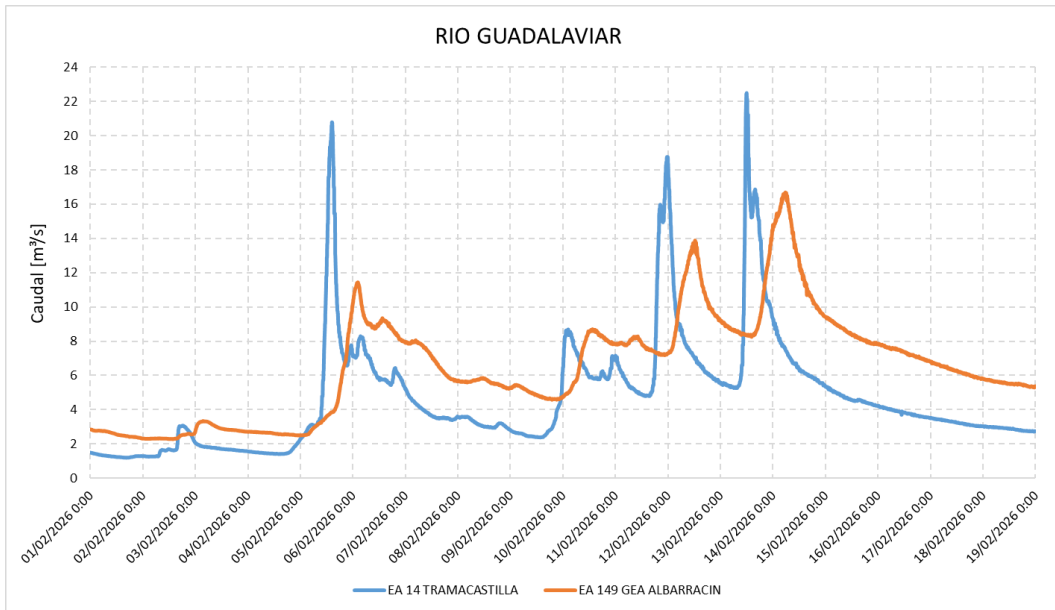


Figura 2-2 Hidrogramas Río Guadalaviar

El hidrograma de la EA Gea de Albarracín (Figura 2-3) muestra:

Caudal base: el registro arranca con caudales bajos y bastante estables, por debajo del umbral amarillo.

Evolución durante el episodio: se aprecian varios pulsos de crecida escalonados y progresivos, con subidas relativamente rápidas y descensos parciales entre pulsos, sin llegar a mantener una meseta prolongada.

Pico principal: $Q_{\text{máx}} = 16.7 \text{ m}^3/\text{s}$ el 14/02/2026 a las 05:45 h, con superación del umbral amarillo.

Tras el máximo, el descenso es progresivo y sostenido, tendiendo gradualmente hacia valores similares a los del inicio del episodio.

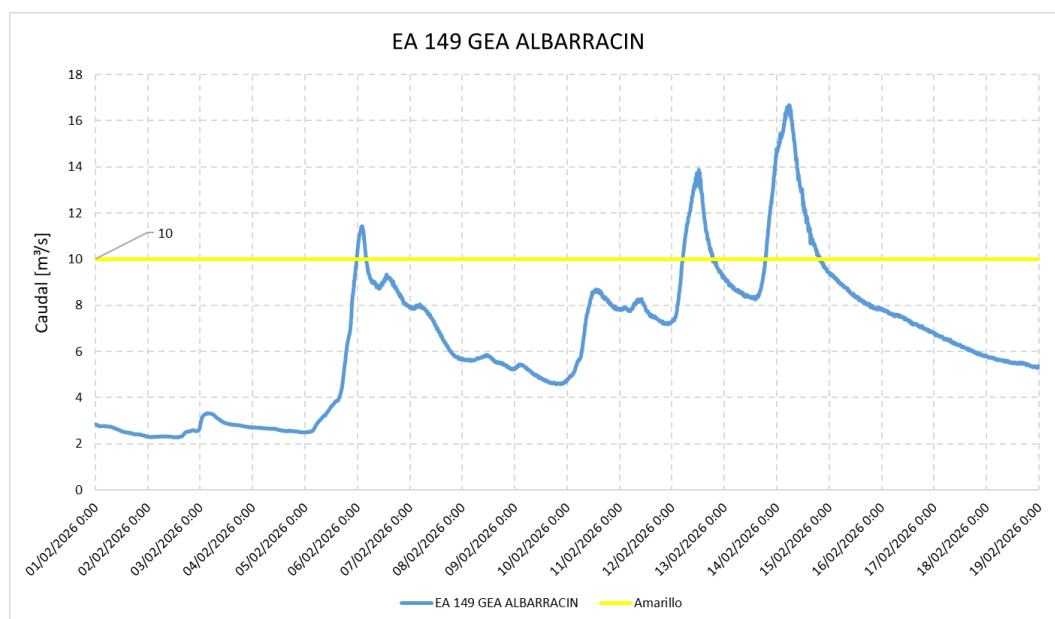


Figura 2-3 . Hidrograma del río Guadalaviar registrado en la EA 149 Gea de Albarracín.

El hidrograma de la EA Tramacastilla (Figura 2-4), muestra:

Caudal base: comienza con caudales bajos, por debajo del umbral amarillo, y con poca variabilidad inicial.

Evolución durante el episodio: presenta pulsos de crecida muy marcados (respuesta rápida), con retornos cercanos al caudal base entre episodios, lo que sugiere respuesta rápida de la cuenca (pequeña).

Pico principal: $Q_{\max} = 23.1 \text{ m}^3/\text{s}$ el 13/02/2026 12:10, con superación del umbral naranja.

Tras las puntas se produce un decrecimiento del caudal rápido, tendiendo gradualmente hacia valores similares a los del inicio del episodio.

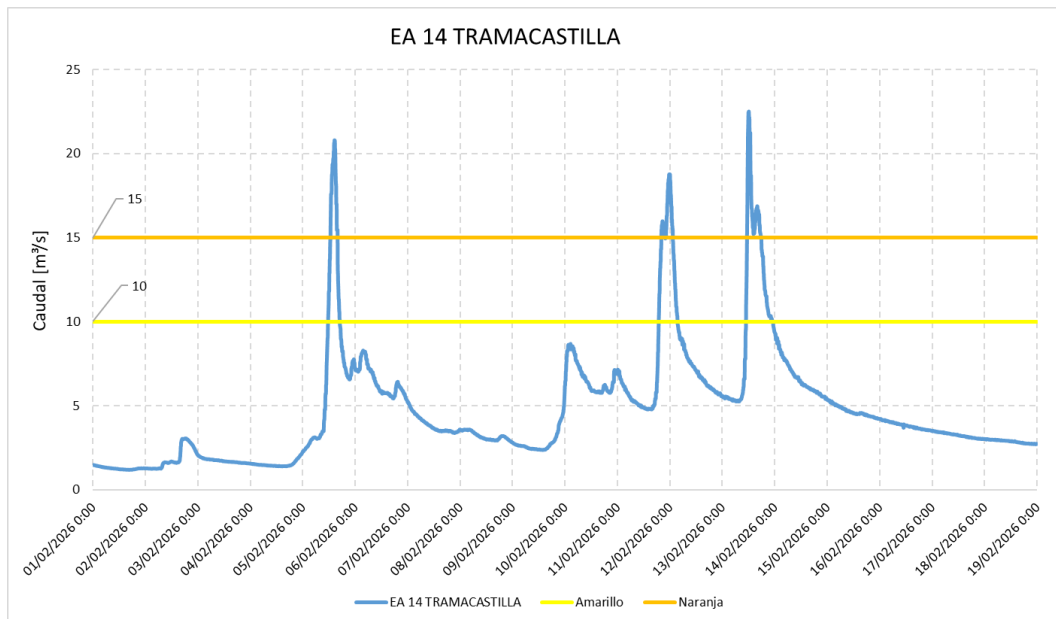


Figura 2-4. Hidrograma del río Guadalquivir registrado en la EA 14 Tramacastilla

2.3 Sistema Júcar

Para este evento, las estaciones de aforo relevantes de la red SAIH fueron:

- EA 126 Molino de Juan Romero
- EA 32 Cuenca
- EA 90 Pajaroncillo
- EA 140 Río Huércemes
- EA 139 Villora
- EA 91 San Lorenzo De La Parrilla
- EA 87 Marimota
- EA 138 Balazote
- EA 98 Río Jardín

Indicadas en la Figura 2-5. Los hidrogramas conjuntos, agrupados por el río Júcar, Cabriel y Río Jardín, se indican de la Figura 2-6 a la Figura 2-8 respectivamente

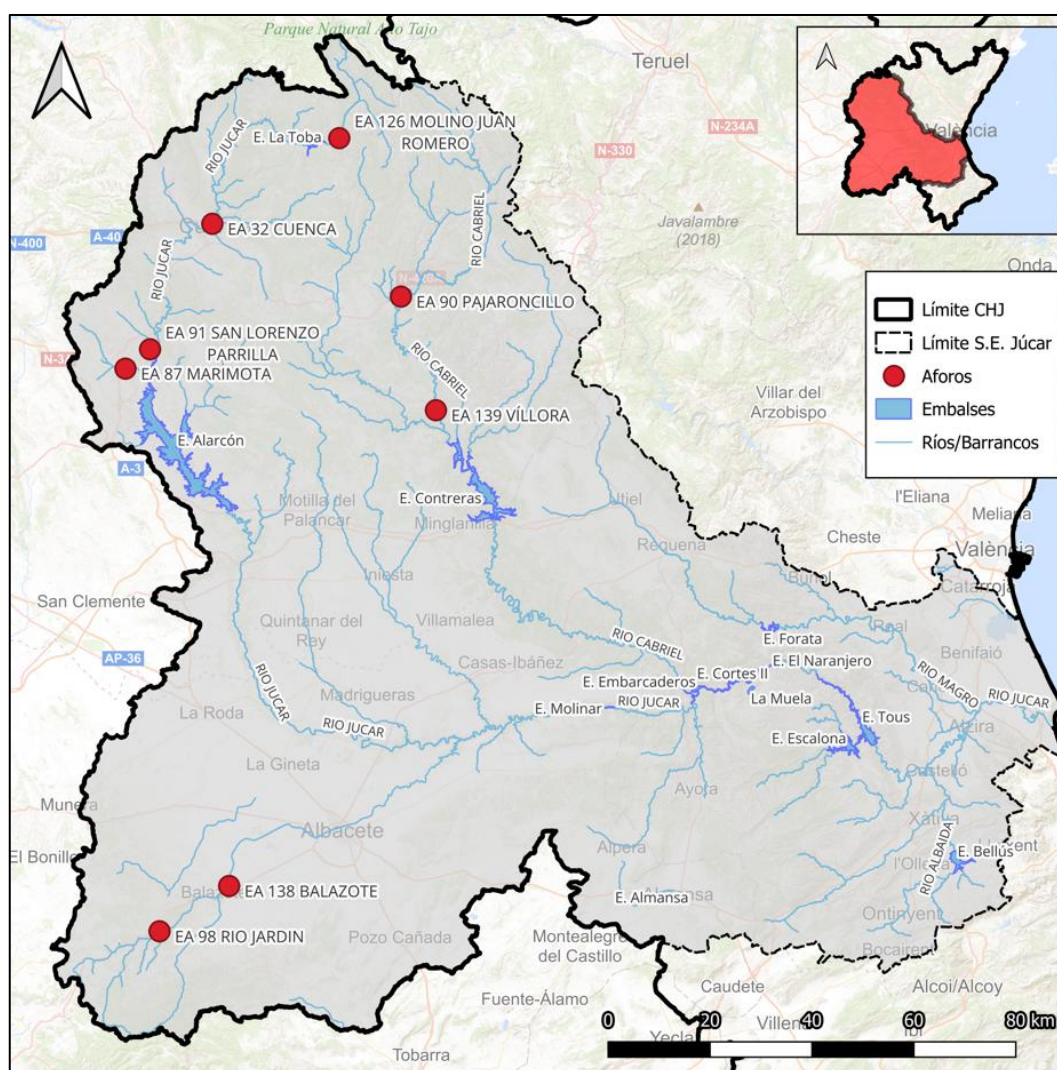


Figura 2-5. Ubicación de la Estaciones de aforo sistema Júcar

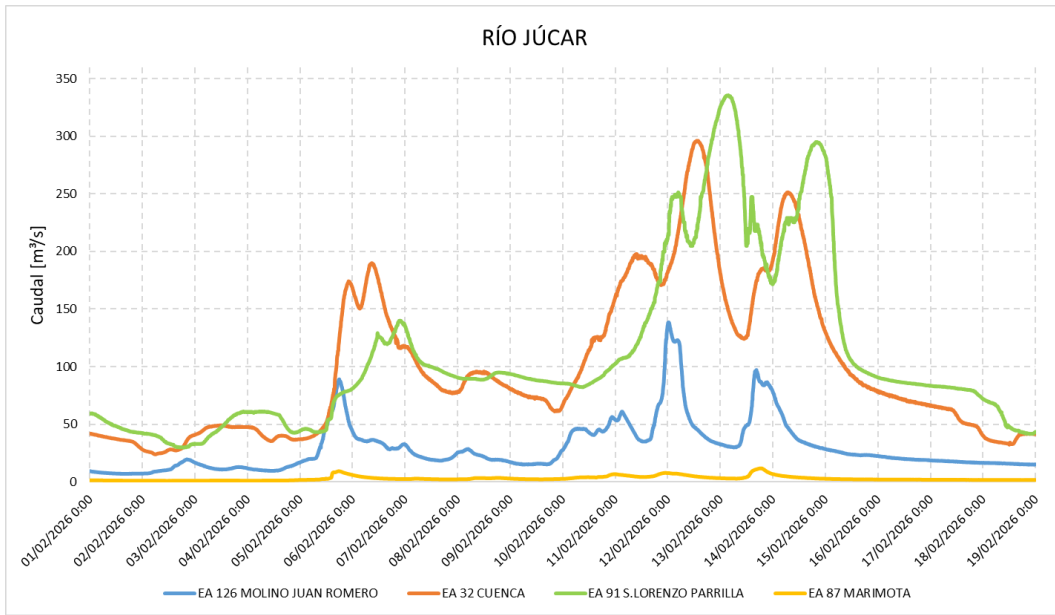


Figura 2-6 Hidrograma Río Júcar

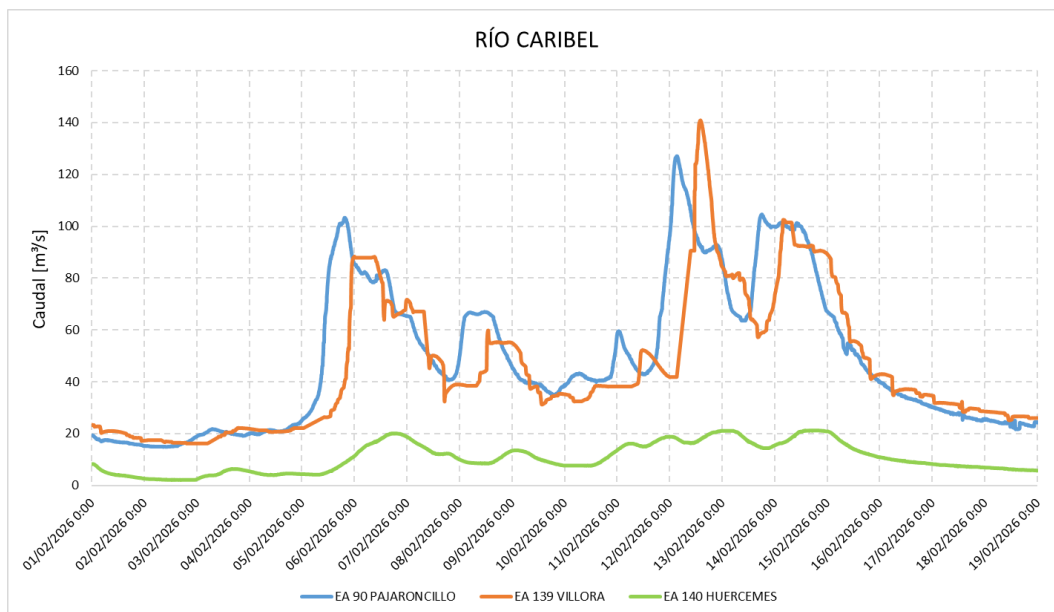


Figura 2-7 Hidrograma Río Cabriel

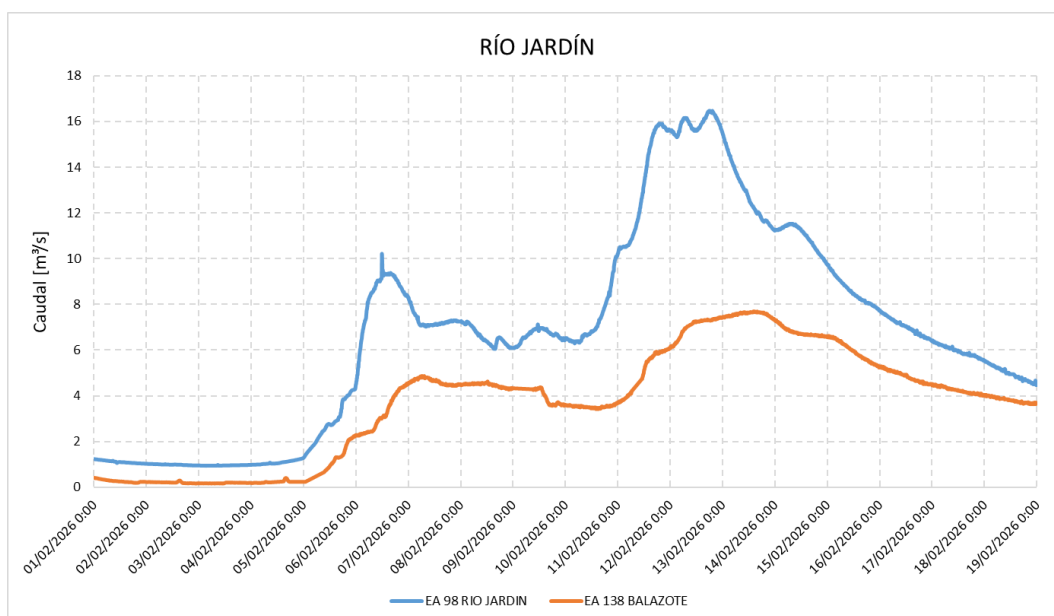


Figura 2-8 Hidrograma Río Jardín

El hidrograma de la EA Molino de Juan Romero (Figura 2-9) muestra:

Caudal base: el hidrograma arranca con caudal bajo por debajo del umbral amarillo.

Evolución durante el episodio: se observan tres pulsos principales, destacando un segundo pulso claramente dominante con ascenso abrupto y una fase alta muy intensa.

Pico principal: $Q_{\text{máx}} = 138.6 \text{ m}^3/\text{s}$ el 12/02/2026 00:30, con superación del umbral rojo.

Tras las puntas se produce un decrecimiento del caudal rápido, tendiendo gradualmente hacia valores similares a los del inicio del episodio.

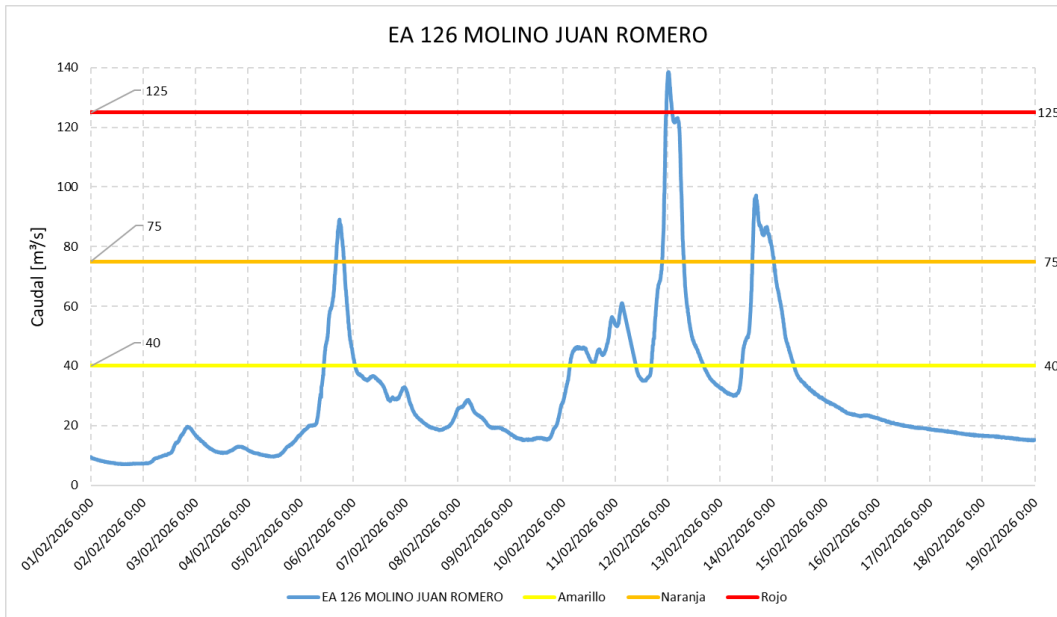


Figura 2-9. Hidrograma del río Júcar registrado en la EA 126 Molino de Juan Romero

El hidrograma de la EA Cuenca (Figura 2-10) muestra:

Caudal base: inicia con caudales bajos, por debajo del umbral amarillo, sin oscilaciones relevantes al comienzo.

Evolución durante el episodio: aparecen tres pulsos amplios y con cierta persistencia, con una fase de caudales relativamente sostenida entre máximos.

Pico principal: $Q_{m\acute{a}x} = 296.2 \text{ m}^3/\text{s}$ el 12/02/2026 13:15, con superación del umbral rojo.

La bajada de los caudales es gradual y prolongada, con retorno paulatino hacia valores similares al inicio del episodio.

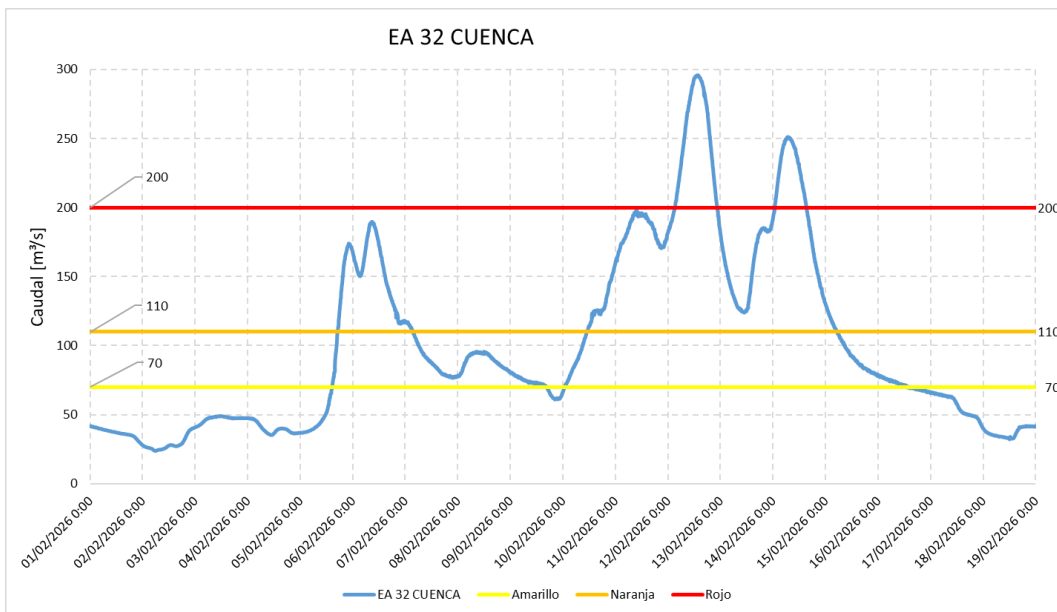


Figura 2-10. Hidrograma del río Júcar registrado en la EA 32 Cuenca.

El hidrograma de la EA Pajaroncillo (Figura 2-11) muestra:

Caudal base: parte de caudales bajos, por debajo del umbral amarillo, y con una línea base relativamente estable.

Evolución durante el episodio: Tramos de caudal alto relativamente sostenidos y cierta variabilidad interna (oscilaciones dentro de la fase alta).

Pico principal: $Q_{\max} = 127 \text{ m}^3/\text{s}$ el 12/02/2026 03:15, con superación del umbral naranja.

La bajada de los caudales es gradual y prolongada, con retorno paulatino hacia valores similares al inicio del episodio.

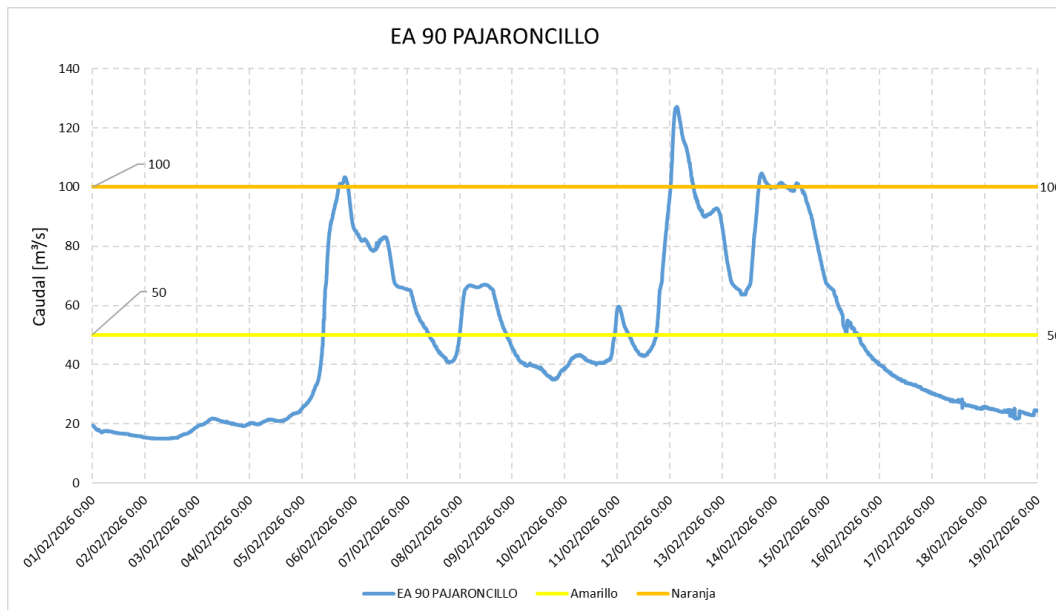


Figura 2-11. Hidrograma del río Cabriel registrado en la EA 90 Pajaroncillo.

El hidrograma de la EA Huércemes (Figura 2-12) muestra:

Caudal base: Inicia con caudales bajos y bastante estables, claramente por debajo del umbral amarillo.

Evolución durante el episodio: ondulaciones durante la fase alta, indicando una respuesta no completamente uniforme.

Pico principal: $Q_{\max} = 21.6 \text{ m}^3/\text{s}$ el 14/02/2026 17:10, con superación del umbral amarillo.

La bajada de los caudales es gradual y prolongada, con retorno paulatino hacia valores similares al inicio del episodio.

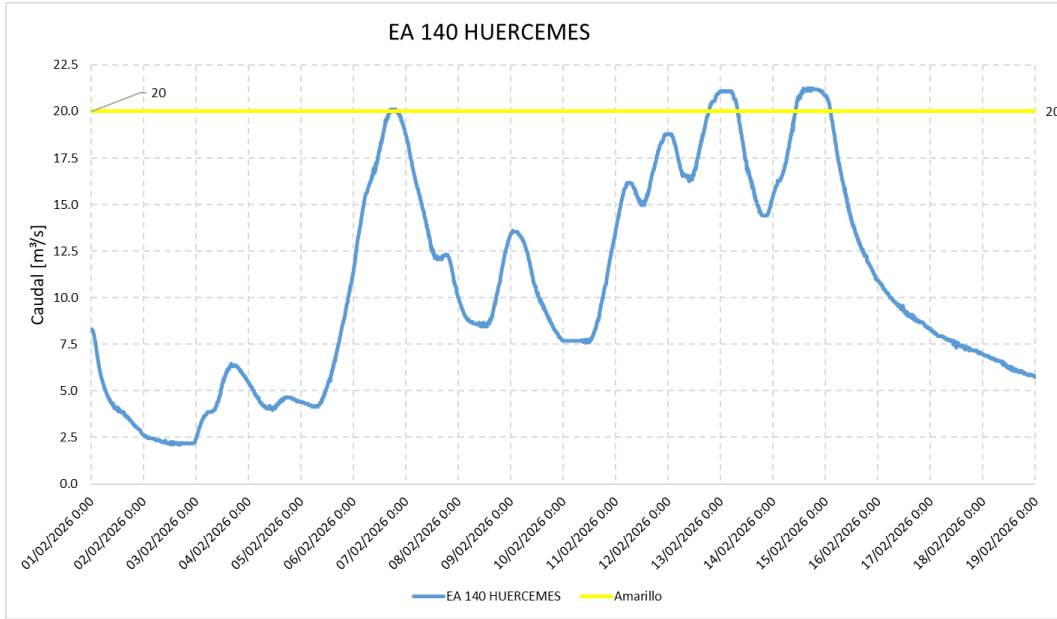


Figura 2-12. Hidrograma del río Guadazón registrado en la EA 140 Huércemes.

El hidrograma de la EA Villora (Figura 2-13) muestra:

Caudal base: comienza con caudal bajo, por debajo del umbral amarillo, y sin una variabilidad inicial destacable.

Evolución durante el episodio: se observan tres pulsos, con ascenso más bien escalonado.

Pico principal: $Q_{m\acute{a}x} = 140.8 \text{ m}^3/\text{s}$ el 12/02/2026 14:00, con superación del umbral naranja.

La bajada de los caudales es gradual y prolongada, con retorno paulatino hacia valores similares al inicio del episodio.

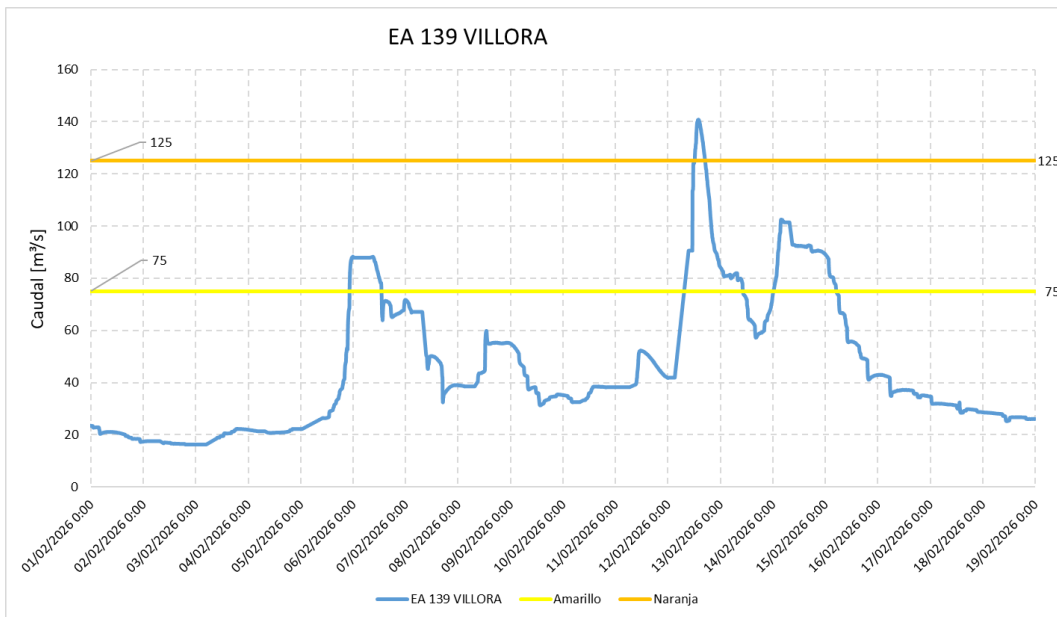


Figura 2-13. Hidrograma del río Cabriel registrado en la EA 139 Villora.

El hidrograma de la EA San Lorenzo de la Parrilla (Figura 2-14) muestra:

Caudal base: inicia de caudales relativamente estables, por debajo del umbral amarillo.

Evolución durante el episodio: se distinguen tres pulsos, con un máximo dominante y un tercer pico también significativo, sin llegar a conformar una meseta larga y uniforme.

Pico principal: $Q_{\text{máx}} = 335.6 \text{ m}^3/\text{s}$ el 13/02/2026 03:50, con superación del umbral naranja.

La bajada de los caudales es gradual y prolongada, con retorno paulatino hacia valores similares al inicio del episodio.

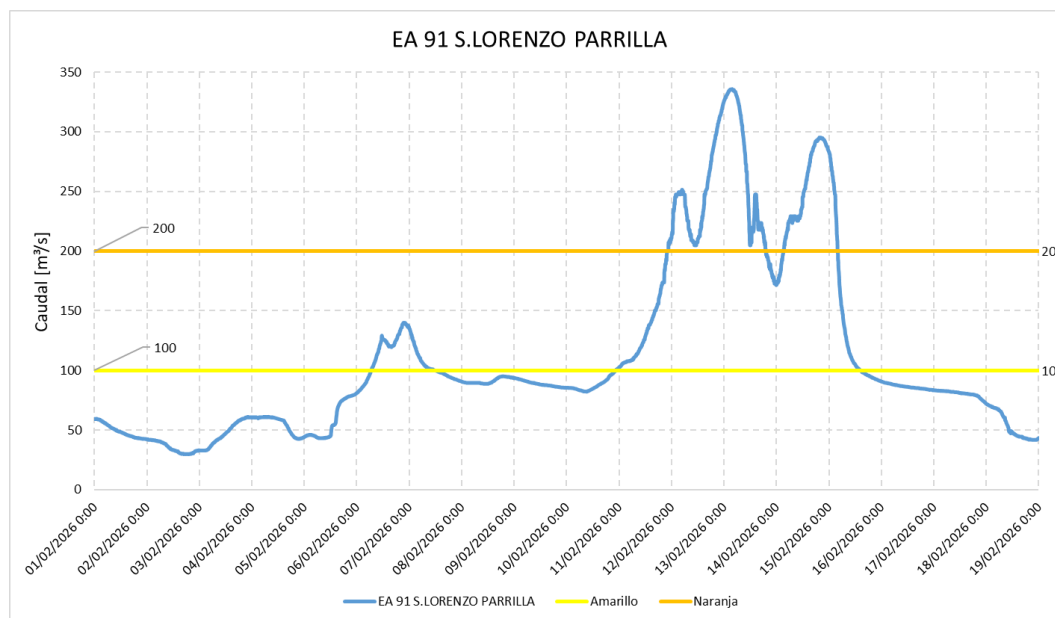


Figura 2-14. Hidrograma del río Júcar registrado en la EA 91 San Lorenzo de la Parrilla.

El hidrograma de la EA Marimota (Figura 2-15) muestra:

Caudal base: inicia con caudales muy bajos, claramente por debajo del umbral amarillo.

Evolución durante el episodio: se aprecian pulsos cortos y de subida rápida.

Pico principal: $Q_{\text{máx}} = 11.76 \text{ m}^3/\text{s}$ el 13/02/2026 18:05, con superación del umbral amarillo.

Recesión: la bajada es rápida y retorna pronto a hacia valores similares a los del inicio del episodio.

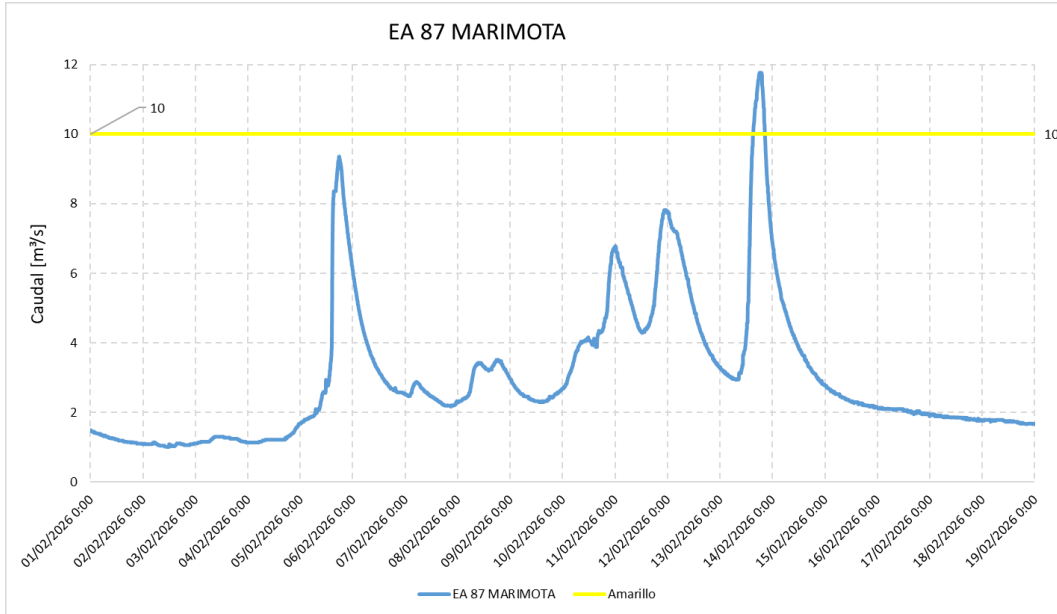


Figura 2-15. Hidrograma del río Marimota registrado en la EA 87 Marimota.

El hidrograma de la EA Balazote (Figura 2-16) muestra:

Caudal base: comienza con caudales bajos, por debajo del umbral amarillo, con poca oscilación al inicio.

Evolución durante el episodio: el ascenso es progresivo con dos picos muy notorios tipo mesetas antes de iniciar el descenso.

Pico principal: $Q_{\text{máx}} = 7.7 \text{ m}^3/\text{s}$ el 13/02/2026 14:25, con superación del umbral amarillo.

El descenso de caudales es lento y continuo, con disminución gradual hasta llegar a valores superiores que en el inicio del episodio.

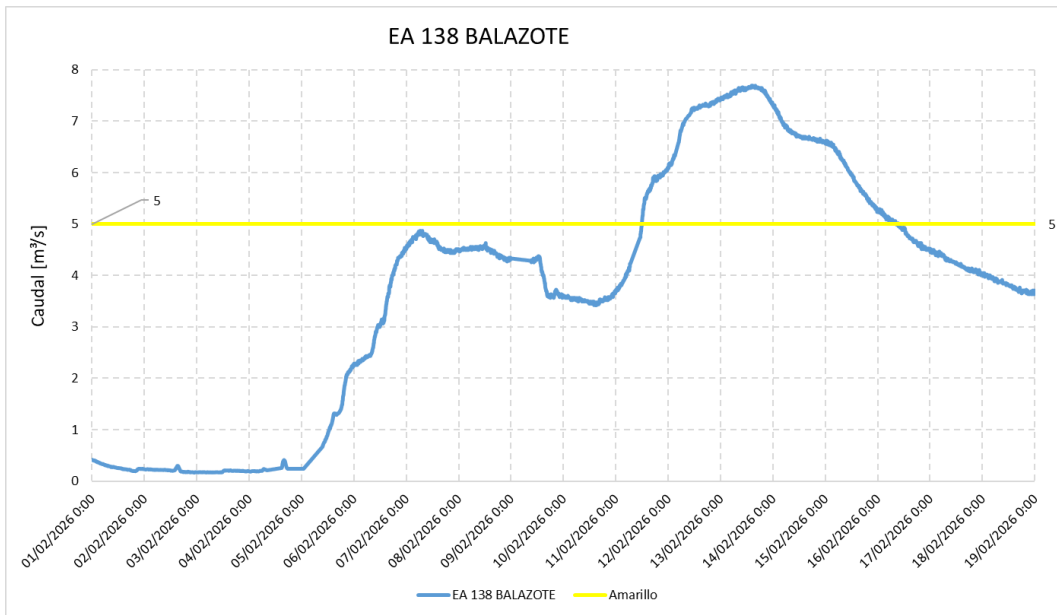


Figura 2-16. Hidrograma del río Don Juan registrado en la EA 138 Balazote.

El hidrograma de la EA Río Jardín (Figura 2-17) muestra:

Caudal base: el hidrograma parte de caudales muy bajos, por debajo del umbral amarillo.

Evolución durante el episodio: se observan dos pulsos, con un segundo episodio más intenso y prolongado que el primero, manteniendo caudales altos durante más tiempo.

Pico principal: $Q_{\max} = 16.5 \text{ m}^3/\text{s}$ el 12/02/2026 18:00, con superación del umbral rojo.

El descenso de caudales es lento y continuo, con disminución gradual hasta llegar a valores superiores que en el inicio del episodio.

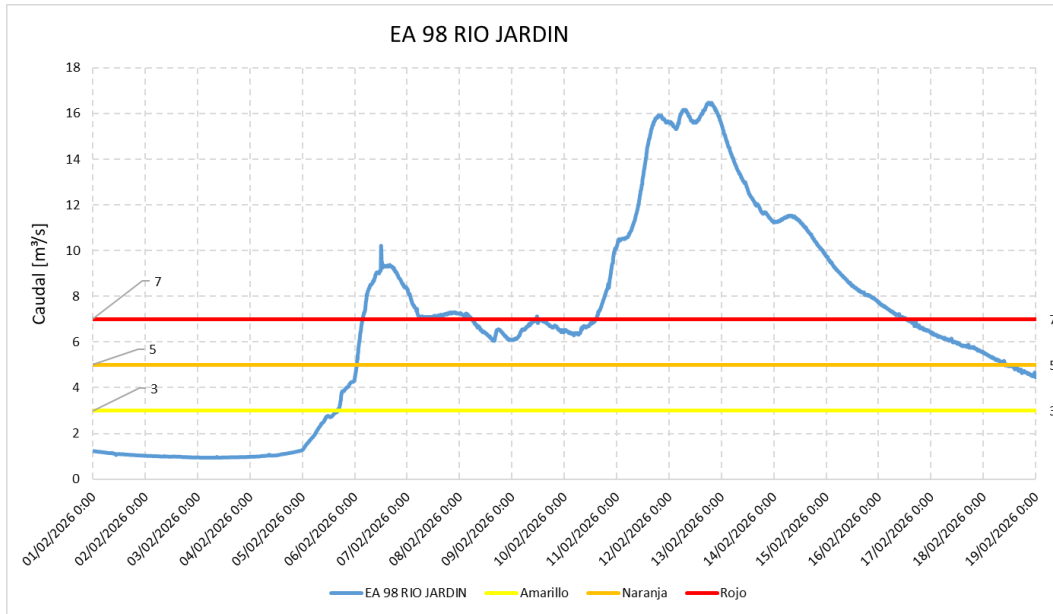


Figura 2-17. Hidrograma del río Jardín registrado en la EA Río Jardín.

3. EMBALSES

3.1 Embalses CHJ

En la Tabla 3-1 se muestra un resumen comparativo del estado de los embalses gestionados por la CHJ antes y después del episodio, sombreados en naranja aparecen los embalses cuyo incremento de volumen es superior a 1 Hm³.

Tabla 3-1 Variación volumen embalses

	Volumen Estacional	Vol. Inicial	Vol. Final	Incremento de volumen	Porcentaje respecto Vol. Estacional	Volumen máximo en periodo
ALARCÓN	1118.0	709.8	851.6	141.9	76%	849.1
ALCORA	1.2	1.2	1.2	0.0	100%	1.2
ALGAR	0.8	0.2	0.1	-0.1	18%	0.2
AMADORIO	14.2	3.9	4.2	0.3	30%	4.2
ARENÓS	65.0	57.0	61.1	4.1	94%	61.1
ARQUILLO	17.0	17.4	18.9	1.5	111%	20.0
BALAGUERAS	0.1	0.1	0.1	0.0	90%	0.1
BELLÚS	23.6	19.1	20.0	0.9	85%	20.0
BENAGEBER	216.5	120.7	136.6	15.9	63%	136.3
BENIARRES	21.5	9.9	10.3	0.4	48%	10.3
CONTRERAS	285.2	232.2	298.6	66.4	105%	298.5
ESCALONA	4.4	4.6	4.6	0.0	105%	4.6
FORATA	28.4	17.3	17.6	0.3	62%	17.7
GUADALEST	11.2	4.4	4.7	0.3	42%	4.7
LORIGUILLA	31.0	21.4	20.4	-1.0	66%	21.4
MARIA CRISTINA	17.0	7.0	6.7	-0.2	40%	7.0
REGAJO	4.9	4.2	4.2	0.0	85%	4.2
SICHAR	41.5	37.7	36.4	-1.4	88%	37.8
TOUS	240.0	123.0	140.5	17.5	59%	140.4
ULLDECONA	9.1	9.2	9.1	0.0	100%	9.2
VALBONA	0.5	0.5	0.5	0.0	98%	0.5
MORA RUBIELOS	0.4	0.1	0.1	0.0	29%	0.1
Incremento de volumen total durante el periodo estudiado:				246.8		

Periodo estudiado: 01/02/2026 8:00h - 19/02/2026 8:00h

Volúmenes en Hm³

Durante el episodio las presas de la CHJ han incrementado en total su volumen almacenado en 246.8 Hm³, destacando los aumentos de Alarcón y Contreras.

Por su repercusión en los sistemas afectados durante el episodio, la situación de los embalses de Alarcón, Arenós, Arquillo, Benagéber, Contreras y Tous se muestran de la Figura 3-1 a la Figura 3-6 respectivamente.

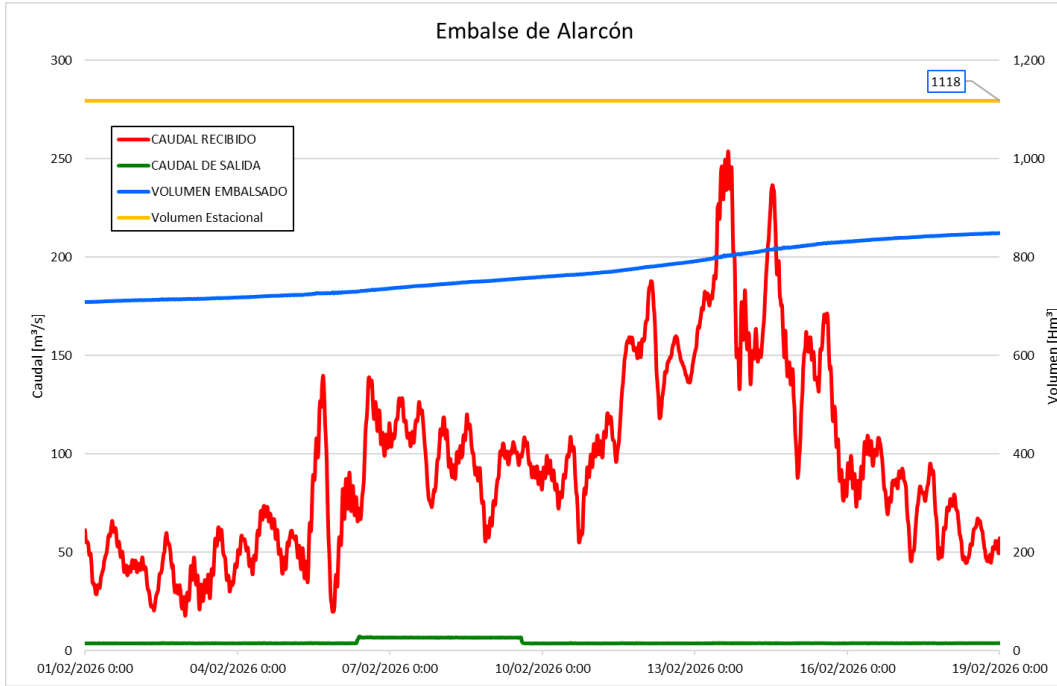


Figura 3-1 Gráfica del volumen embalsado y caudales de entrada y salida del embalse de Alarcón.

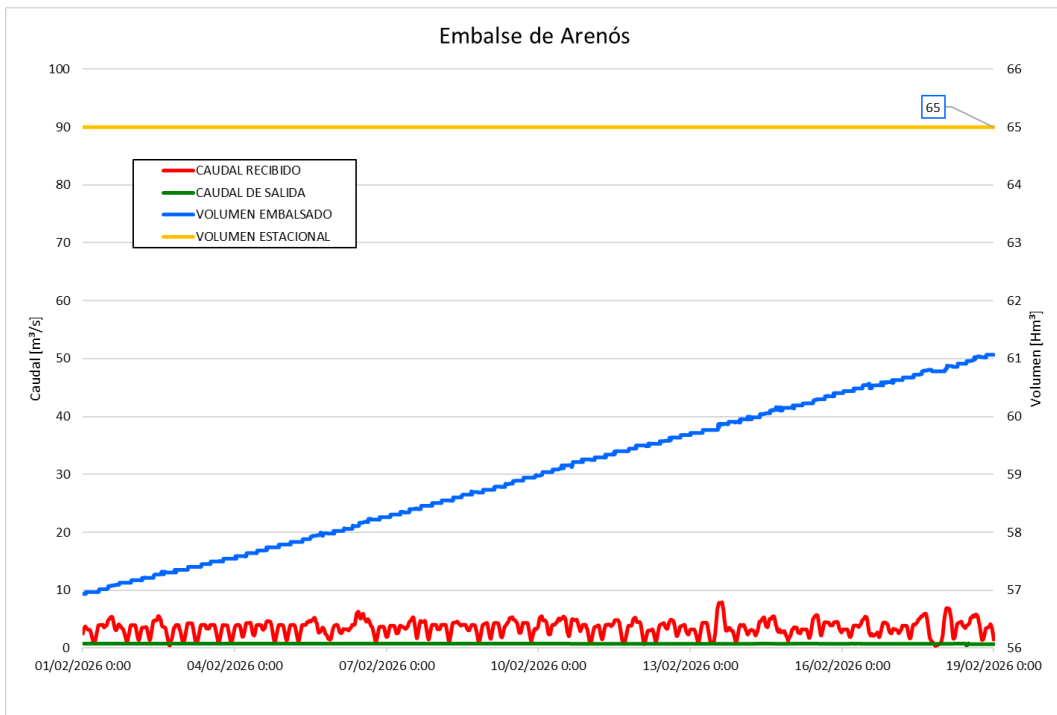


Figura 3-2 Gráfica del volumen embalsado y caudales de entrada y salida del embalse de Arenós.

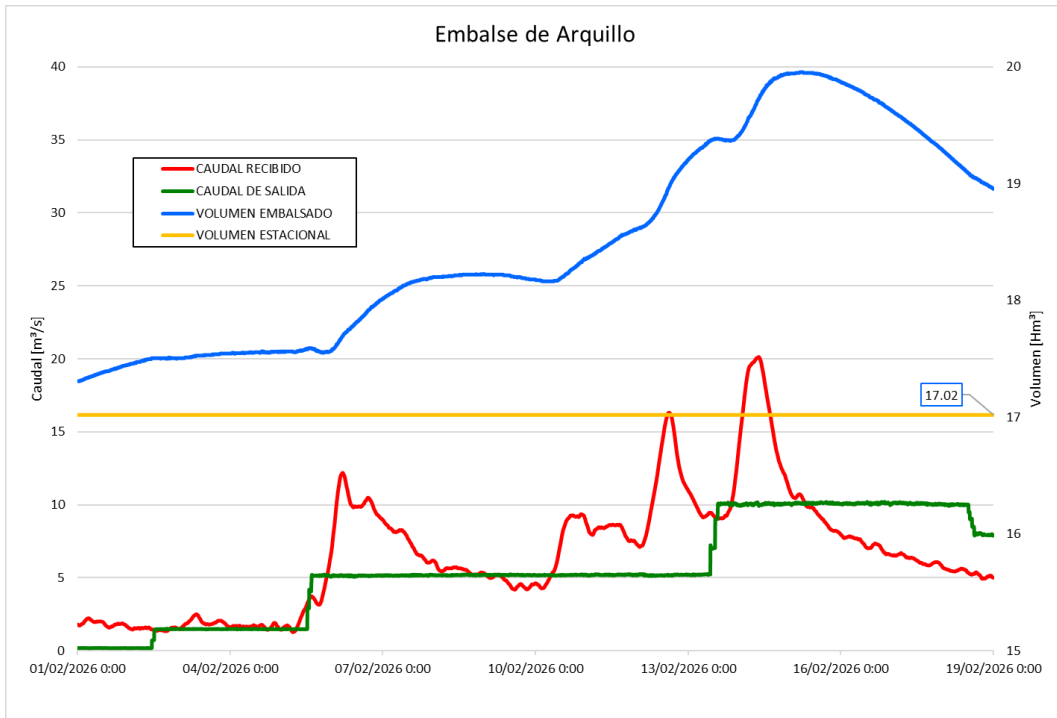


Figura 3-3 Gráfica del volumen embalsado y caudales de entrada y salida del embalse de Arquillo.

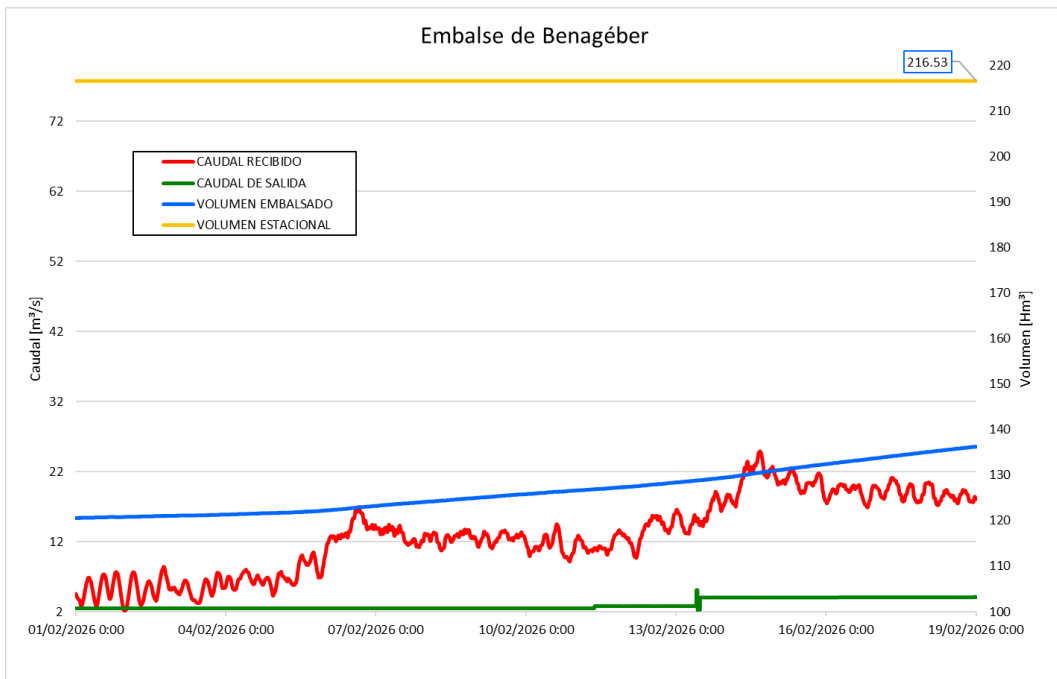


Figura 3-4 Gráfica del volumen embalsado y caudales de entrada y salida del embalse de Benagéber

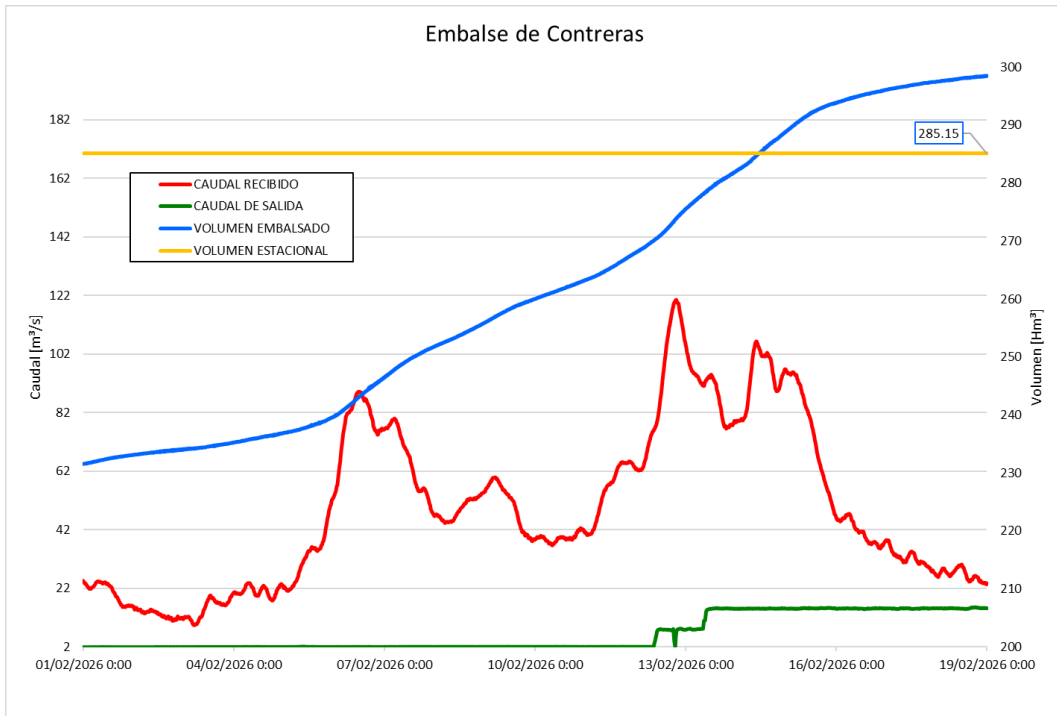


Figura 3-5 Gráfica del volumen embalsado y caudales de entrada y salida del embalse de Contreras

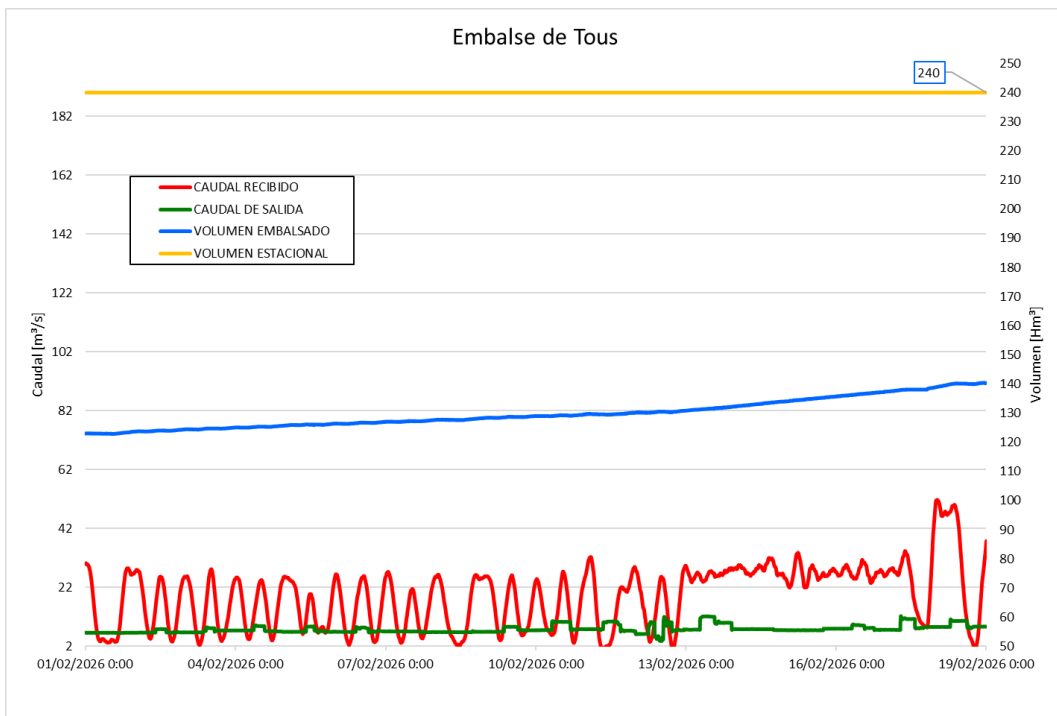


Figura 3-6 Gráfica del volumen embalsado y caudales de entrada y salida del embalse de Tous.

ANEJO I: LISTADO DE LLUVIAS

CONFEDERACION HIDROGRAFICA DEL JUCAR

S.A.I.H.

Fecha inicial: 01 FEB 2026 Hora: 00:00

Fecha final : 19 FEB 2026 Hora: 00:00

ESTACION PLUVIOMETRICA	MUNICIPIO Y PROVINCIA	LLUVIA l/m2
------------------------	-----------------------	----------------

* CUENCA CENIA-BAJO MAESTRAZGO.-

Fredes	La Pobla Benifassa(FRE) (CS)	41.4
Embalse de Ulldecona	La Pobla Benifassa(ULL) (CS)	10.6
MC La Senia	La Senia (T)	4.4
Vallibona	Morella (CS)	9.6
MC Traiguera	Traiguera (CS)	5
Catí	Catí (CS)	5.8
Xert	Xert (CS)	3.6
MC Cervera del Maestre	Cervera del Maestre (CS)	2.6
Alcalá de Chivert	Alcalá de Xivert (CS)	2.2
Sarratella	Sarratella (CS)	3.1

* CUENCA DEL MIJARES.-

MC Formiche Alto	Formiche Alto (TE)	3.8
Embalse Valbona	Valbona (TE)	9.8
Embalse de Mora	Mora de Rubielos (TE)	18.8
Embalse de los Toranes	Sarrion (TE)	12.2
Pina	Pina de Montalgrao (CS)	13.4
Embalse de Arenós	Montanejos (CS)	8.6
Valdelinares	Valdelinares (TE)	35.4
Mosqueruela	Mosqueruela (TE)	16.4
Embalse de Ribesalbes	Fanzara (CS)	4.4
Lucena del Cid	Lucena del Cid (CS)	8.6
Embalse de Alcora	Alcora (CS)	9
Benasal	Benasal (CS)	7.2
Sarratella	Sarratella (CS)	3.1
Benafigos	Benafigos (CS)	9
MC Atzeneta del Maestrat	Atzeneta del Maestrat (CS)	5.6
MC Vall de Alba	Vall de Alba (CS)	3.6
Peña Cuerno	Vilafames (CS)	2.6
Borriol	Borriol (CS)	3.8
Embalse de María Cristina	Castelló (CS)	4.2
Sitjar	Onda (CS)	6.2
Azud Santa Quiteria	Vila-Real (CS)	2.2
Embalse de Onda	Alcudia de Veo (CS)	5.4
Alfondeguilla	Alfondeguilla (CS)	5.2

Balsa del Belcaire	La Vall d'Uxo (CS)	3.8
--------------------	--------------------	-----

* CUENCA DEL PALANCIA.-

El Toro	El Toro (CS)	21
La Cueva Santa	Altura (CS)	12.8
Embalse de Regajo	Jérica (CS)	6
Sot de Ferrer	Sot de Ferrer (CS)	6.2
Embalse del Algar	Algar de Palancia (CS)	4.4
Deposito de Sagunto	Sagunto (V)	4.2

* CUENCA DEL ALTO TURIA.-

Gúdar	Gúdar (TE)	24.4
EA 28 Villalba Alta	Perales de Alfambra (TE)	10
Argente	Argente (TE)	17.8
pajaroGriegos	Griegos (TE)	127
EA 14Tramacastilla	Tramacastilla (TE)	111.4
Albarracín	Albarracín (TE)	29.6
EA 149 Gea de Albarracin	Gea de Albarracin (TE)	19.2
Embalse Arquillo	Teruel (TE)	17.2
EA 15-27 Teruel	Teruel (TE)	14.2
Valdecuenca	Valdecuenca (TE)	52.2
EA 103 Torrealta	Torrebaja (V)	26
EA 18 Zagra	Tuejar (V)	48.6
Embalse de Benagéber	Benagéber (V)	24.4
La Cuevarruz	Alpuente (V)	38.6
Chelva	Chelva (V)	15.2
EA 120 Calles	Calles (V)	12.2
Domeño	Domeño (V)	10.6
Andilla	Andilla (V)	36.4
Embalse de Loriguilla	Loriguilla (V)	10.2

* CUENCA DEL BAJO TURIA.-

Embalse de Buseo	Chera (V)	27
EA 22 Aforo en Bugarra	Bugarra (V)	5.6
Andilla	Andilla (V)	36.4
Casinos	Casinos (V)	7
MC en Ramb Castellana	Pedralba (V)	3
MC Vilamarxant	Vilamarxant (V)	4.6
E.A 56 Acequia Moncada	Manises (V)	4.2
Portaceli	Serra (V)	5.8
Alto del Pino	Serra (V)	5
MC Carraixet Betera	Bétera (V)	6.4
EA 221 Marines	Marines (V)	14.6
Chiva	Chiva (V)	9.2

MC Ram Poyo N-III	Riba-roja (V)	2.4
El Puig Acequia Moncada	El Puig (V)	5.4
Azud del Repartiment	Quart de Poblet (V)	4.6
Valencia	Valencia (V)	4.6
Tancat de la Pipa	Valencia (V)	3.2

* CUENCA DEL ALTO JUCAR.-

EA 126 Molino Juan Romero	Beamud (CU)	159.4
Embalse la Toba	Uña (CU)	226
Ciudad Encantada	Valdecabras (CU)	184
Zarzuela	Zarzuela (CU)	150.6
EA 32 Cuenca	Cuenca (CU)	109.6
Talayuelo	Arcas de Villar (CU)	134.6
EA 91 San Lorenzo de la Parrilla	San Lorenzo Parrilla (CU)	80.8
ATS Belmontejo	Belmontejo (CU)	89.6
Embalse Alarcón	Alarcón (CU)	102.4
Laguna del Marquesado	Laguna del Marquesado (CU)	197.6
Salvacañete	Salvacañete (CU)	92.4
La Cierva	La Cierva (CU)	189.2
Cuerda	Boniches (CU)	138
Tío Calores	Barchin del Hoyo (CU)	108.2
Almodóvar del Pinar	Almodóvar del Pinar (CU)	120
Landete	Landete (CU)	99.8
Enguidanos	Enguidanos (CU)	79.6
Contreras	Villargordo del Cabriel (V)	59.6

* CUENCA DEL JUCAR MEDIO.-

Tío Calores	Barchin del Hoyo (CU)	108.2
EA 129 El Picazo	El Picazo (CU)	75.4
la Roda	La Roda (AB)	57.6
EA 36 Los Frailes	Valdeganga (AB)	51.2
EA 136 Tiriez	Tiriez (AB)	115.6
EA 97 Montemayor	Casas de Lazaro (AB)	124.8
Aforo Trasvase Tajo-Segura ATS	Los Anguijes (AB)	48.6
MC Chinchilla	Chinchilla (AB)	19
Almodóvar del Pinar	Almodóvar del Pinar (CU)	120
MC en Quintanar del Rey	Quintanar del Rey (CU)	54
Graja de Iniesta	Graja de Iniesta (CU)	74.6
Villamalea	Villamalea (AB)	52.8
Cerro Aguila	Fuentealbilla (AB)	58.2
Higueruela	Higueruela (AB)	35
EA 144 Alcalá del Júcar	Alcalá del Júcar (AB)	42.8
Caudete de las Fuentes	Caudete de las Fuentes (V)	55.8
MC Villatoya	Villatoya (AB)	41
EA 112 Cofrentes	Cofrentes (V)	17.6

Ayora La Hunde	Ayora (V)	61.2
Embalse de Almansa	Almansa (AB)	32.8
Ayora	Ayora (V)	30
Aliaguilla	Aliaguilla (CU)	65
Utiel	Utiel (V)	14
EA 60 Requena	Requena (CU)	41.4
Embalse de Cortes II	Cortes de Pallás (V)	13.6
Embalse de La Muela	Cortes de Pallás (V)	10.2
Embalse de Naranjero	Cortes de Pallás (V)	18.2
Casa del Barón	Cortes de Pallás (V)	13.4
Caroig	Teresa de Cofrentes (V)	20
Embalse de Forata	Yátova (V)	8
Enguera la Matea	Enguera (V)	35.2
Font Figuera	Font de la Figuera (V)	25.2
Sierra Ave	Dos Aguas (V)	8
Millares	Millares (V)	7
Embalse de Escalona	Navarres (V)	3
Embalse de Tous	Tous (V)	2.4

* CUENCA DEL BAJO JUCAR.-

Siete Aguas	Siete Aguas (V)	29.8
Enguera Benali	Enguera (V)	4.8
MC Moixent	Moixent (V)	6.4
Serra Grossa	Vallada (V)	3.8
MC Estubeny	Estubeny (V)	3.8
MC Real de Montroy	Real de Montroy (V)	1.4
Parada 14 Picasent	Picassent (V)	5.2
Azud de Antella	Antella (V)	8.2
MC Carcer	Carcer (V)	6
Ontinyent	Ontinyent (V)	0.6
EA 29 Montaverner	Montaverner (V)	6.6
Embalse de Bellús	Bellús (V)	4.2
MC Manuel	Manuel (V)	5
MC Castello	Castelló (V)	5.8
MC Bco Casella	Alzira (V)	8.4
EA 89 Huerto Mulet	Algemesí (V)	4.6
Azud de Sueca	Riola (V)	11.4
MC Bco Malet (Vaca)	Simat de la Valldigna (V)	8.4

* CUENCA DEL SERPIS.-

Alcoi	Alcoi (A)	6.2
Agres	Agres (A)	4
Millena	Millena (A)	5.4
MC Muro de Alcoi	Muro de Alcoi (A)	4.4
Beniarrés	Beniarrés (A)	7

C. Altos del Serpis	Villalonga (V)	5.4
Azud Font en Carrós	Villalonga (V)	5
Pinet	Pinet (V)	6.8
MC Vernissa	Rótova (V)	5.4
MC Bco Malet (Vaca)	Simat de la Valldigna (V)	8.4
Azud de Terrateig	Terrateig (V)	10.8

* CUENCA MARINA ALTA.-

MC Gallinera	Adsubia (A)	4.6
La Carrasca-Pego	Vall de Gallinera (A)	2
Embalse de Isbert	Vall de Laguart (A)	4.4
MC Alcalalí	Murla (A)	3.4

* CUENCA MARINA BAJA.-

Abdet	Confrides (A)	6.6
Azud de Mandem	Altea (A)	5.8
MC Callosa Algar	Callosa d'En Sarriá (A)	5.8
Sierra Gelada	l'Alfás del Pi (A)	5.6
Amadorio	Vila Joiosa (A)	7.6

* CUENCA VINALOPO-ALICANTI.-

Ibi	Ibi (A)	11.8
Torre de les Macanes	Torre de les Macanes (A)	9.8
Sax	Sax (A)	11.6
MC Elda	Elda (A)	13.4
Sierra Sit	Petrer (A)	9.2
Agost	Agost (A)	11.6
Embalse de Tibi	Tibi (A)	13.6
MC Mutxamel	Mutxamiel (A)	10.6
noguefgAlacant	Alacant (A)	13.4